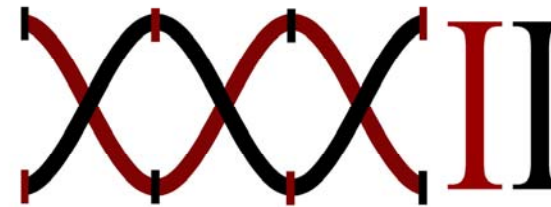


- 2.- Análisis de la concentración de actividad de ^{222}Rn en aguas subterráneas para el estudio de análogos naturales de almacenamiento geológico profundo de CO_2 , A. Fernández Mateo, y A. Martín Sánchez
- 3.- Desarrollo de un sistema de trazado de núcleos exóticos para FAIR, B. Fernández, A. Garzón, Z. Abou-Haidar, M. A. G. Alvarez, J. M. Espino, J. Gómez-Camacho
- 4.- Radiactividad natural en algunos materiales utilizados en construcción, C. Miró, J. M. Ávila, M. García y J. Pastor-Villegas
- 5.- Correcciones radiactivas de la reacción cuasielástica $^{12}\text{C}(e,e'p)$ mediante técnicas estadístico-iterativas A. B. Ruano Sánchez, A. Martín Sánchez, y J. de la Torre Pérez
- 6.- Non-invasive Method for Derivation of Input Function from Images in Small Animals, E. Herranz, J.L. Herraiz, E. Vicente, S. España, M. Desco, J.J. Vaquero, J.M. Udías
- 7.- Migración vertical de radionúclidos naturales en suelos, P. Blanco Rodríguez, F. Vera Tomé, y J. C. Lozano
- 8.- Medidas de radón en viviendas y edificios públicos del barrio de Vegueta en Las Palmas de Gran Canaria, H. Alonso, J. G^a Rubiano, M. A. Arnedo¹, R. Rodríguez, J. M. Gil, R. Florido, P. Sancho y P. Martel
- 9.- Determinación de la emanación de radón en rocas y suelos de la Isla de Gran Canaria, H. Alonso, J. G^a Rubiano, M. A. Arnedo, R. Rodríguez, J. M. Gil, R. Florido y P. Martel
- 10.- Radiación gamma natural en las islas de Lanzarote y La Graciosa, M. A. Arnedo, J. G^a Rubiano, R. Rodríguez, J. M. Gil, R. Florido, H. Alonso y P. Martel
- 11.- Dispersión de electrones en FAIR: El experimento ELISe, Javier R. Vignote por la colaboración ELISe
- 12.- Medida de la concentración de radón en aire en interiores mediante sondas de carbón activo, J. de la Torre Pérez, A. Martín Sánchez, A.B. Ruano Sánchez, y M. Jurado Vargas
- 13.- Fabricación de carbón vegetal de calidad: Optimización del proceso de pirólisis y caracterización del producto final, M.P. Rubio Montero, C.J. Durán Valle, M. Jurado Vargas, A. Botet Jiménez, D. Omenat Morán
- 14.- Estudios del plasma del TJ-II con técnicas espectroscópicas y detectores basados en materiales luminiscentes, A. Baciero, B. Zurro, K. J. McCarthy, D. Rapisarda, D. Jiménez-Rey, y el Equipo del TJ-II
- 15.- Medida de campos eléctricos y fluctuaciones en plasmas de Perfiles de Temperatura y Velocidad Poloidal de Impurezas en Plasmas del TJ-II Stellarator, T. Estrada et al.
- 16.- Perfiles de Temperatura y Velocidad Poloidal de Impurezas en Plasmas del TJ-II Stellarator, J. Arévalo, K. J. McCarthy, J. M. Carmona, J. M. Fontdecaba
- 17.- A study of fast oxygen ions originating from the neutral beam injection heaters in the TJ-II stellarator, K. J. McCarthy, J. Arévalo, V. Tribaldos, J. M. Fontdecaba
- 18.- Evidencia de correlaciones de fluctuaciones con múltiples escalas durante la transición a regímenes de alto confinamiento en T, M.A. Pedrosa et al.
- 19.- Molecular dynamics simulations of rigid and flexible water, J.S. Medina, R. Prosmiiti, P. Villarreal, G. Delgado-Barrio, et al.
- 20.- Intermolecular interaction and spectroscopy of He-I_2 : ground and excited states, R. Prosmiiti, L. García-Gutierrez, L. Delgado-Tellez, Á. Valdés, P. Villarreal y G. Delgado-Barrio
- 21.- Intermolecular interaction and bound states of X state of NeI_2 , L. Delgado-Tellez, R. Prosmiiti, P. Villarreal y G. Delgado-Barrio
- 22.- Structure and energetics of H^+ s based on DFT, P. Barragán, R. Prosmiiti, O. Roncero, A. Aguado, P. Villarreal G. Delgado-Barrio,



Bienal de Física
19º Encuentro Ibérico



Programa de los simposios de *Física Nuclear y Física Atómica y Molecular*

*7 y 8 de Septiembre
Aula 005 de la Facultad de Derecho*

Lunes 7 de septiembre

Física Nuclear

COMUNICACIONES ORALES I, 15:30-17:00

- 1.- Búsqueda del tercer estado 1^+ del ^{30}Al , B. Olaizola et al.
- 2.- Analysis of the data taken with the BiPo-Phoswich prototype at Modane Underground Laboratory, L. Serra Díaz-Cabno, F. Monrabal Capilla, S. Carcel García y N. Yahlali
- 3.- Estudio de la desintegración beta del núcleo con $N=Z$ ^{72}Kr , M.J.G. Borge, J.A. Briz et al.
- 4.- Estudio de la desintegración β de núcleos ricos en neutrones de interés para el cálculo del calor residual de reactores nucleares, M.D. Jordán et al.
- 5.- Reacciones de arranque de un neutrón a energías relativistas, C. Rodríguez-Tajes et al.
- 6.- Medida de la sección eficaz de fisión de Pb-nat y Bi-209 inducida por neutrones de hasta 1 GeV, D. Tarrío, H. Álvarez, I. Durán y C. Paradela (colaboración CERN-n_TOF)

(Pausa para café)

COMUNICACIONES ORALES II, 17:20-19:05

- 1.- Reacciones inducidas por la dispersión del núcleo halo ^{11}Be en torno a la barrera Coulombiana, L. Acosta et al.
- 2.- Análisis de la reacción $^{11}\text{Li}+^{208}\text{Pb}$ a energías en torno a la barrera usando el método de canales acoplados con discretización del continuo (CDCC), J.A. Lay et al.
- 3.- Estudio de las reacciones de dispersión y ruptura del núcleo con halo ^{11}Li en ^{208}Pb a energías próximas a la barrera coulombiana, M. Cubero et al.
- 4.- Análisis de la dispersión elástica y los canales de ruptura del sistema $^6\text{He}+^{208}\text{Pb}$ en torno a la barrera de Coulomb, J.P. Fernández-García, M. Rodríguez-Gallardo, M.A.G. Álvarez y A.M. Moro
- 5.- Últimos avances en detectores de centelleo de alta resolución en montaje phoswich, M. Carmona-Gallardo, J.A. Briz, M.J.G. Borge, A. Perea, O. Tengblad, M. Turrión y B. El Bakkari
- 6.- Monte Carlo simulations with GEANT4 for the study of a moderated neutron detector, M.B. Gómez Hornillos
- 7.- Silicon Detector Adapted to Neutron Detection, C. Guardiola, M. Lozano, G. Pellegrini, F. Teixidor, C. Viñas y P. González

COMUNICACIONES ORALES III, 19:05-20:05

- 1.- Caos Cuántico y ruido $1/f$: aplicación al estudio de niveles perdidos y simetrías mezcladas en espectros nucleares, L. Muñoz, R.A. Molina, J. Retamosa, A. Relaño y E. Faleiro
- 2.- Dynamical Response in a magnetized neutron Fermi Liquid, M. Ángeles Pérez-García
- 3.- The pseudospin symmetry as an accidental symmetry, S. Marcos, M. López-Quelle, R. Niembro y L.N. Savushkin
- 4.- Dispersión cuasielástica de electrones ($e, e'p$) en núcleos complejos: Teoría y experimento, J.L. Herraiz

Martes 8 de septiembre

Sesión Especial Conjunta de los simposios de Física Nuclear y de Física Atómica y Molecular: Plasmas y Fusión Nuclear

COMUNICACIONES ORALES, 15:30-16:45

- 1.- Centro Nacional de Tecnologías para la Fusión (ICTS TechnoFusion), J. Sánchez, A. Ibarra et al.
- 2.- Simulation of NBI heating on Grid, M.A. Rodríguez-Pascual, J. Guasp, F. Castejón, I.M. Llorente y R. Mayo
- 3.- Cálculo numérico integrado para el estudio de la física de plasmas en dispositivos de fusión por confinamiento magnético, D. López-Bruna et al.
- 4.- Experimentos en el Stellarator TJ-II con pared recubierta de litio, J. Sánchez Sanz y el Equipo TJ-II
- 5.- Inestabilidades Haz-Plasma en Régimen Relativista: Papel en Fusión Termonuclear y Astrofísica A. Bret

(Pausa para café)

Física Nuclear

COMUNICACIONES ORALES IV: 18:15-19:45

- 1.- Simulación Monte Carlo del cabezal de un acelerador clínico Siemens Primus mediante Geant4, M. A. Cortés-Giraldo, J. M. Quesada, M. I. Gallardo, y R. Arráns
- 2.- Diseño y desarrollo de un nuevo sistema de micro-fluorescencia de rayos X portátil para aplicaciones en Patrimonio Cultural, Francisco J. Ager et al.
- 3.- Uso de técnicas IBA y AMS para el estudio de muestras de Palomares (Almería), M. C. Jiménez-Ramos, E. Chamizo, J. García López, R. García-Tenorio y M. García-León
- 4.- Impact of pileup in the quantification of a small PET scanner, E. Vicente, S. España, J.L. Herraiz, M. Desco, J.J. Vaquero y J.M. Udías
- 5.- Caracterización de fotomultiplicadores de Silicio para su uso en escáneres PET en presencia de campos magnéticos, S. España, L.M. Fraile, J. Cal-González, E. Picado, J.L. Herraiz, J.M. Udías, M. Desco y J.J. Vaquero
- 6.- Radiación ionizante producida en la interacción de pulsos láser ultracortos con blancos sólidos de aluminio, C. Fonseca-Cuenca, C. Méndez-Valverde, C. Ruiz-Méndez, F. Fernández-González y L. Roso-Franco

Física Nuclear, Física Atómica y Molecular

PÓSTERS (Martes 8, en el vestíbulo del Paraninfo)

Se ruega a los presentadores estén en sus pósters entre las 17 y las 18 horas

- 1.- Medida de la concentración de actividad alfa total y beta total en agua de consumo humano: Comparación de diferentes procedimientos, A. B. Ruano Sánchez, A. Martín Sánchez, y J. de la Torre Pérez